



بررسی فرآیند نفوذ و جابجایی در یک جریان دوفازی آب و هوای روش هیدرودینامیک ذرات هموار (SPH)

حسن زمانی‌پور^۱، پوریا امیدوار^{۲*}، علی طیبی^۲

۱- دانشجوی کارشناسی ارشد، مهندسی مکانیک، دانشگاه یاسوج، یاسوج

۲- استادیار، مهندسی مکانیک، دانشگاه یاسوج، یاسوج

* یاسوج، صندوق پستی ۷۵۹۱۴-۳۵۳
omidvar@yu.ac.ir

چکیده

در این مقاله به بررسی فرآیند نفوذ و جابجایی در یک جریان دوفازی آب و هوای توسط روش هیدرودینامیک ذرات هموار پرداخته می‌شود. شبیه‌سازی جریان‌های دوفازی نیازمند آگاهی از وضعیت دقیق سطح مشترک بین دو فاز است که روش اس‌بی‌اچ بدلیل ماهیت لاغرانژی و بدون مش بودن به راحتی سطح مشترک بین دو فاز را شناسایی می‌کند. برای شبیه‌سازی از کد متون باز اسپیزیکس دو بعدی تک فاز که برای مسائل سطح آزاد کاربرد فراوان دارد استفاده می‌شود. این کد با اضافه کردن نیروی کشش سطحی و یک فشار اضافی به معادله مومنتوم، به یک کد دوفازی آب و هوای ارتقاء یافته است. همچنین برای درک بهتر فرآیند نفوذ و جابجایی، معادله غلظت نیز مورد بررسی قرار گرفته شده است. برای اعتباریکشی مسئله دوفازی آب و هوای ابتدا مسائل مخزن ساکن آب و هوای فشار هیدرولاستاتیکی مورد بررسی قرار گرفته است. همچنین مسئله شکست سد دوفازی بر روی بستر نامحدود شبیه‌سازی شده و نتایج با داده‌های آزمایشگاهی مقایسه و نتایج قابل قبولی به دست آمده است. سپس فرآیند نفوذ و جابجایی و توزیع غلظت برای جریان دوفازی آب و هوای سه ضریب نفوذ متفاوت انجام شده و نتایج به دست آمده تطابق خوبی با نتایج تحلیلی داشته است. نتایج به دست آمده نشان می‌دهد که روش اس‌بی‌اچ یک روش مناسب برای شبیه‌سازی جریان‌های دوفازی نظری آب و هوای همچنین فرآیند نفوذ و جابجایی است.

اطلاعات مقاله

دریافت: ۱۹ آبان ۱۳۹۵	پذیرش: ۲۳ دی ۱۳۹۵	ارائه در سایت: ۱۳ بهمن ۱۳۹۵
کلید واژگان:	روش هیدرودینامیک ذرات هموار	جریان‌های دوفازی

مسئله نفوذ و جابجایی
صعود حباب هوای

Investigation of convection-diffusion process in a two-phase air-water flow using Smoothed Particle Hydrodynamics

Hassan Zamanipour, Pourya Omidvar*, Ali Tayebi

Department of Mechanical Engineering, Yasouj University, Yasouj, Iran
* P.O.B 75914-353, Yasouj, Iran, omidvar@yu.ac.ir

ARTICLE INFORMATION

Original Research Paper
Received 09 November 2016
Accepted 12 January 2017
Available Online 01 February 2017

Keywords:
Smoothed particle hydrodynamics
Two-phase flows
Convection-Diffusion problem
Air-bubble rising

ABSTRACT

In this paper, the convection-diffusion process in a two-phase air-water flow is investigated. Two-phase flows of air and water are important and are widely used in the industrial applications. Simulation of such a flow needs a proper understanding of the interface between two phases where there is a change in the fluid properties. Smoothed Particle Hydrodynamics (SPH) is a fully Lagrangian and meshless method which can simply detect the interface of multiphase flows. Here, we develop the open-source SPHysics2D code into two phase and implement the convection-diffusion equation by looking carefully at surface tension forces. To validate, first the still-water problem is investigated to ensure that the hydrostatic pressure at the interface is predicted and then the dam-break problem on an infinite bed is compared with the available experimental data. Results show that the combination of surface tension formulations and an additional artificial force gives a better result. Finally, the convection-diffusion process and the concentration distribution are shown for the air-bubble rising problem for different diffusive coefficients. It will be shown that the SPH method is a useful tool for studying multiphase flows and convection-diffusion processes.

این نوع جریان‌ها می‌توان به جریان دوفازی در راکتورهای هسته‌ای، کندانسورها، برج‌های حبابی، راکتورهای هوای بالاوندۀ^۱، جریان درون جداکننده‌های نفتی و جریان درون لوله‌های انتقال نفت و گاز اشاره کرد [۲]. روش‌های مختلفی برای حل جریان‌های دوفازی و تعیین سطح مشترک بین فارها وجود دارد، که از رایج‌ترین این روش‌ها می‌توان روش‌های سطح تراز^۲،

۱- مقدمه
جریان‌های دوفازی، از لحاظ فیزیکی و عددی، دارای پیچیدگی‌های زیادی هستند که توجه بسیاری از محققین را به خود جلب کرده است. از مهم‌ترین اهدافی که حل جریان‌های دوفازی دنبال می‌کند بررسی جریان‌هایی است که دو سیال با یک فصل مشترک از یکدیگر جدا می‌شوند. سطح مشترک بین فارها بسیار به تغییر هندسه اجزای جریان حساس است و در نتیجه هر تغییری در آن باعث تغییر در معادلات حاکم می‌شود [۱]. از جمله کاربردهای

^۱Airlift
^۲Level Set

Please cite this article using:

H. Zamanipour, P. Omidvar, A. Tayebi, Investigation of convection-diffusion process in a two-phase air-water flow using Smoothed Particle Hydrodynamics, *Modares Mechanical Engineering*, Vol. 17, No. 2, pp. 115-125, 2017 (in Persian)

برای ارجاع به این مقاله از عبارت ذیل استفاده نمایید:

[24]. ژانگ و همکاران یک مدل هیدرودینامیک ذرات هموار برای صعود حباب هوا و بهم آمیختگی حباب‌ها در سه بعد از ارائه دادند [25]. لیند و همکاران در سال 2016 یک روش جدید دوفازی تراکم‌پذیر-تراکمناپذیر در جایی که فعل مشترک بین فازها ناپیوستگی چگالی وجود دارد، را گسترش دادند [26]. اخیراً پورعبدیان و همکاران به مدل سازی شکست جت مایع تکفازی و دوفازی با اختلاف چگالی بالا با استفاده از روش اس‌پی‌اچ پرداختند [27]. شایان ذکر است که اولین بار فرآیند نفوذ با استفاده از روش اس‌پی‌اچ را کلیری و موناگان در سال 1999 برای مسائل انتقال حرارت هدایت مدل کردند [28]. در سال 2001 و 2002 ژو و فاکس [30,29] و نیز تارتاکوفسکی و میکین [31] در سال 2005 مدل‌های متفاوتی برای فرآیند نفوذ ارائه دادند. تارتاکوفسکی و همکاران انتقال فعل و بارش را با استفاده از روش اس‌پی‌اچ انجام دادند [32]. ماننتی و همکاران به شبیه‌سازی سریع زدودن رسوب به وسیله جریان آب با استفاده از روش اس‌پی‌اچ پرداخته‌اند [33]. همچنین آریستدمو و همکاران یک مدل دوفازی برای فرآیند جابجایی و نفوذ با اختلاف چگالی کم (آب و روغون) ارائه دادند [34]. با این حال هنوز فرآیند نفوذ و جابجایی برای جریان دوفازی با اختلاف چگالی زیاد (مثلاً آب و هوا) انجام نشده است.

در این مقاله برای حل عددی از کد متون باز اس‌فیزیکس⁷ دو بعدی استفاده شده است. این کد یک کد برنامه‌نویسی روش هیدرودینامیک ذرات هموار است که به زبان فرترن برای شبیه‌سازی مسائل سطح آزاد و تک فازی نوشته شده و در آن از اثرات نیروی کشش سطحی صرف نظر شده است. در اینجا با اضافه کردن نیروی کشش سطحی و یک فشار اضافی (نیروی حجمی) به معادله مومنتوم، کد مربوطه به یک کد دوفازی با اختلاف چگالی بالا ارتقاء یافته است. این راهکار برای دوفازی کردن کد مربوطه هنوز ارائه نشده است، از این‌رو تمام شبیه‌سازی‌های موجود در این مقاله با این راهکار ارائه می‌شود. همچنین در این مقاله با اضافه کردن معادله نفوذ و جابجایی به بررسی تغییر غلظت حباب هوا در آب پرداخته می‌شود. تا آنجایی که نویسنده‌گان اطلاع دارند، فرآیند نفوذ و جابجایی در یک جریان دوفازی آب و هوا مورد بررسی قرار نگرفته است. به این ترتیب نوآوری مقاله به این صورت بیان می‌شود.

در این مقاله ابتدا مسئله مخزن ساکن آب و هوا برای نشان دادن فشار هیدرولاستاتیکی در آب، شبیه‌سازی شده است و پس از آن به شبیه‌سازی شکست سد در دو بستر محدود و نامحدود پرداخته شده است. سپس با اضافه کردن معادله نفوذ و جابجایی، مسئله صعود حباب هوا جهت بررسی غلظت حباب هوا برای سه ضریب نفوذ متفاوت شبیه‌سازی شده است.

2- معادلات حاکم

اولین قدم برای شبیه‌سازی رفتار یک محیط پیوسته، توصیف رفتار آن به وسیله‌ی مدل‌ها و معادله‌های ریاضی است. معادلات حاکم بر رفتار یک محیط پیوسته شامل دو معادله‌ای اصلی می‌باشد:

- معادله‌ی بقای جرم (پیوستگی)
- معادله‌ی بقای اندازه حرکت (مومنتوم)

بنابراین نرخ تغییرات سرعت و چگالی توسط معادلات اوبلر⁸ و در چهارچوب دیدگاه لاغرانژی توسط روابط (1) و (2) بیان می‌گردد:

$$\frac{dp}{dt} = -\rho \nabla \cdot v \quad (1)$$

⁷ SPHysics
⁸ Euler Equations

حجم سیال^۱ و ... را نام برد. روش هیدرودینامیک ذرات هموار یک روش کاملاً لاغرانژی است که در حل مسائل دینامیک سیالات محاسباتی^۲ استفاده می‌شود. در این روش به منظور ساده شدن تحلیل عددی، محیط پیوسته را به ذرات تقسیم می‌نماییم که در فاصله‌ی معینی از یکدیگر تأثیر می‌پذیرند و به منظور حفظ پیوستگی محیط توسط تابعی با تکیه‌گاه هموار هر ذره به ذرات همسایه خود و باسته می‌شود. اساس ساده روش اس‌پی‌اچ^۳، قابلیتش در پذیرش فیزیک‌های پیچیده، این روش را از سایر روش‌ها متمایز می‌کند [3]. از این‌رو، روش اس‌پی‌اچ یک روش مناسب برای بررسی جریان‌های سطح آزاد و دوفازی است. روش هیدرودینامیک ذرات هموار برای اولین بار توسط لویس و به طور جدایانه توسط موناگان و گینگلد در سال 1977 میلادی به منظور بررسی پدیده‌های غیرمتقارن فیزیک نجومی، ارائه شد [5,4]. موناگان علاوه بر مسائل فیزیک نجوم برای اولین بار این روش را برای تحلیل جریان‌های با سطح آزاد به کار گرفت [6]. برهمنش سیال و جامد [8,7]، جریان‌های سطح آزاد [9]، سیالات غیرنیوتی [10]، بررسی انتقال حرارت هدایت [11]، مکانیک جامدات [12] نمونه‌های از کاربردهای متنوع این روش است. موناگان در سال 1995 برای به دست آوردن ناحیه سطح مشترک و ساختار یک انرژی کشش سطحی از یک تابع رنگ هموار^۴ استفاده کرد [6]. در سال 1998 کامینس و رادمن⁵ با به کار بردن روش تصویرسازی جریان سیال در یک حفره را شبیه‌سازی کرده و این اولین بار بود که روش تصویرسازی برای شبیه‌سازی جریان به کمک اس‌پی‌اچ بدکار برده می‌شد [13]. موریس سه فرمول مختلف با استفاده از گرادیان تابع رنگ برای به دست آوردن نیروی ناشی از کشش سطحی ارائه داد [14]. در سال 2003 کلگرووسی و لندرینی برای حل گرادیان زیاد چگالی در سطح تماس، راه حل‌های نظری استفاده از تصحیح مقدار چگالی و فیلتر کردن آن برای هر 30 گام زمانی، هموار کردن سرعت جریان و تصحیح ترم گرادیان فشار با اضافه کردن ترم کشش سطحی بسیار بزرگ در معادله حالت مربوط به فاز سبکتر را ارائه دادند [15]. هو و آدامز یک روش برای مدل سازی کشش سطحی ارائه کردند [16] و سپس به مدل سازی جریان چندفازی پرداختند [17]. گرینیر و همکاران برای جریان‌های چندفازی با اختلاف چگالی بالا فرمول نویسی جدیدی به نام همیلتون^۶ اس‌پی‌اچ پشنهداد داده‌اند [18]. رسانی و همکاران، جریان سطح آزاد دوفازی شکست سد روی بستر متحرک را شبیه‌سازی کردند [19]. اولین شبیه‌سازی هیدرودینامیک ذرات هموار برای جریان حبابی توسط داس و داس انجام شد، آن‌ها شبیه‌سازی تغییر شکل بیشتر در این پژوهش (با اعمال یک سطح مشترک منتشر شده) را با روش هیدرودینامیک ذرات هموار انجام دادند [20]. به علاوه آن‌ها پیشرفت‌های بیشتر در این پژوهش (با توجه به این که کشش سطحی در سیال چندفازی مخصوصاً با اختلاف چگالی بالا بسیار مهم است توائستند الگوریتمی را ارائه دهنده که فرمول بندی جدیدی برای جریان چندفازی بدون در نظر گرفتن کشش سطحی می‌باشد [23]. همچنین گرینیر و همکاران جریان‌های حبابی لزج با یک مدل فصل مشترک ارائه شده توسط روش اس‌پی‌اچ را شبیه‌سازی کردند

¹ Volume of Fluid Method

² Computational Fluid Dynamic

³ Smoothed Particle Hydrodynamics (SPH)

⁴ Colour Function Smoothed

⁵ Cummins & Rudman

⁶ Hamilton

دوفازی با اختلاف چگالی بالا نیز به صورت معادله (6) تعریف می‌شود:

$$\frac{dv_i}{dt} = - \sum_j m_j \left(\frac{P_i + P_j}{\rho_i \rho_j} + \Pi_{ij} + R_{ij} \right) \nabla_i W_h(r_{ij}) + f \quad (6)$$

که Π_{ij} در رابطه (6) بیانگر اثر لزجت است. در این مقاله برای اعمال کردن اثر لزجت از رابطه لزجت مصنوعی برای جریان دوفازی آب و هوا به صورت زیر استفاده می‌شود [38]:

$$\Pi_{ij} = - \frac{16v_i v_j}{(v_i \rho_i + v_j \rho_j)} \frac{v_{ij} \cdot r_{ij}}{h |r_{ij}|} \quad (7)$$

در رابطه (6)، R_{ij} ، بیانگر یک فشار اضافی (به عنوان نیروی حجمی) است که برای کنترل فشار بین دو فاز با اختلاف چگالی بسیار بالا ارائه شده است [18]. لازم به ذکر است که این پارامتر وقتی به معادله مونتمووم اضافه می‌شود که دزه از یک جنس نباشند، به عبارت دیگر این ترم فقط در سطح تماس بین دو فاز اضافه می‌شود. موناگان و رفیعی مقدار این عبارت را به صورت زیر اصلاح کردند [23]:

$$R_{ij} = \chi \cdot \left(\frac{\rho_{0,1} - \rho_{0,g}}{\rho_{0,1} + \rho_{0,g}} \right) \left| \frac{P_i + P_j}{\rho_i \rho_j} \right| \quad (8)$$

مقادیر $\rho_{0,1}$ و $\rho_{0,g}$ ، به ترتیب مقادیر چگالی مرجع آب و هوا هستند. مقدار χ ضریبی است که با توجه به تجربیات عددی در هر مسئله به دست می‌آید و با توجه به تحلیل پایداری حل در مسائل، معمولاً بین [0.01-0.1] است. در این پژوهش برای χ مقدار 0.08 در نظر گرفته شده است.

2-1- نیروی کشش سطحی

برای مدل‌سازی اثرات کشش سطحی در قالب روش اس‌بی‌اچ تلاش‌های فراوانی صورت گرفته است که اکثر آن‌ها از روش نیروی سطحی پیوسته (سی‌اس‌اف)^۲ استفاده کرده‌اند [39]. در این روش نیروی کشش سطحی به عنوان یک نیروی حجمی فقط در ناحیه نزدیک به سطح مشرک دو سیال در نظر گرفته می‌شود. موریس براساس همین تئوری نیروی سطحی پیوسته روشی را برای مدل‌سازی کشش سطحی با استفاده از خط انحنای سطح تماس و تابع دلتای سطحی^۳ ارائه کرد [14]. این متغیرها توسط یک تابع رنگ^۴ محاسبه می‌شوند. نیروی کشش سطحی به صورت عمودی بر سطح تماس دو سیال اعمال می‌شود. برطبق تئوری سی‌اس‌اف کشش سطحی به یک نیرو بر واحد حجم تبدیل می‌شود:

$$F_s = f_s \delta_s \quad (9)$$

در رابطه (9) δ_s بیانگر تابع دلتای سطحی و f_s نیرو بر واحد سطح است که به صورت زیر تعریف می‌شود:

$$f_s = \sigma K \hat{n} \quad (10)$$

که در رابطه (10) σ ضریب کشش سطحی، \hat{n} بردار یکه عمود بر سطح تماس و K خط انحنای سطح تماس هستند. ضریب کشش سطحی در این پژوهش برابر 0.072 N/m در نظر گرفته شده است. در این روش فرض شده است که کشش سطحی در تمام سیال ثابت است و از گرادیان سطح چشم‌پوشی شده است. نیرو بیان شده در رابطه (10) به صورت عمود بر سطح تماس و بر خط انحنای محلی عمل می‌کند. این نیرو، نواحی دارای انحنای زیاد را هموار می‌کند و عاملی برای کاهش مساحت سطح کل (و متعاقباً انرژی سطح) است. برای δ_s در رابطه (9) انتخاب‌های متفاوتی وجود دارد. اما در هر حال این نرمال کننده باید طوری برگزیده شود که انتگرال آن روی

$$\frac{dv}{dt} = - \frac{1}{\rho} \nabla P + f \quad (2)$$

که d/dt معرف مشتق مادی، P سرعت، ρ کننده فشار، m چگالی سیال و f نیروی حجمی وارد بر واحد جرم می‌باشد. این روش از یک انتگرال میانیاب برای محاسبه خواص ذرات استفاده می‌کند (معادله (3)) [3]:

$$\phi(r) = \oint_{\Omega} \phi(\dot{r}) W_h(|r - \dot{r}|) d\dot{r} \quad (3)$$

در رابطه (3) انتگرال گیری بر روی ناحیه پشتیبانی Ω انجام می‌گیرد. h طول هموارسازی بوده که متناسب با فاصله ذره می‌باشد. "شکل 1" ناحیه پشتیبانی را نشان می‌دهد، که در آن طول ناحیه پشتیبانی (r) با طول هموارسازی (h) متناسب است.

با افزایش طول هموارساز، ناحیه تاثیر در میانیابیتابع ϕ بزرگتر می‌شود. اندازه طول هموارسازی با استفاده از فاصله اولیه ذرات هماره با یک ضریب بدست می‌آید. این طول در تمامی شبیه‌سازی‌های انجام شده در این مقاله $h = 1.3\Delta x$ در نظر گرفته شده است که Δx فاصله اولیه بین ذرات می‌باشد. تابع میانیاب تنها بر حسب فاصله اولیه بین ذرات و به منظور حفظ بقای ممنوع زاویده و خطی تغییر می‌کند [35].

اس‌بی‌اچ انتگرال میانیاب (معادله (3)) را به یک سری متناهی تبدیل می‌کند و فضای پیوسته سیال را با یک فضای گسسته محدود تقریب می‌زند [36]:

$$\phi(\dot{r}) \cong \sum_j \frac{m_j}{\rho_j} \phi(r_j) W_h(r_{ij}) \quad (4)$$

$$r_{ij} = r_i - r_j$$

در رابطه (4)، کمیت m_j معرف جرم ذره j و ρ_j چگالی ذره j ، r_{ij} کمیت نشان‌دهنده فاصله بین ذره i و j می‌باشد. کمیت $W_h(r_{ij})$ معرف گرادیان معادله پیوستگی برای جریان دوفازی با اختلاف چگالی بالا در روش اس‌بی‌اچ به منظور محاسبه تغییرات زمانی چگالی به صورت معادله (5) به دست می‌آید [37].

$$\frac{d\rho_i}{dt} = \sum_j m_j v_{ij} \cdot \nabla_i W_h(r_{ij}) \quad (5)$$

$$v_{ij} = v_i - v_j$$

در این روش چگالی فقط هنگامی تغییر خواهد کرد که ذرات سیال نسبت به یکدیگر تغییر کنند. در واقع با استفاده از چگالی اولیه که به ذرات داده شده و معادله پیوستگی، تغییرات زمانی چگالی محاسبه می‌شود. همچنین در این مقاله برای جلوگیری از نوسانات چگالی از فیلتر شپارد^۵ [15] برای هر فاز به طور جداگانه استفاده می‌شود. در روش اس‌بی‌اچ معادله مونتمووم برای جریان

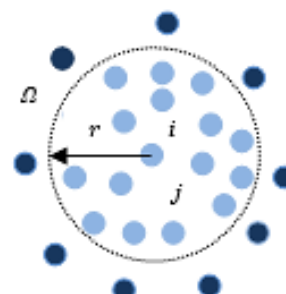


Fig. 1 Neighbors of particle i within the domain of interest Ω .

شکل 1 ذرات همسایه i در ناحیه پشتیبانی Ω

¹ Shepard

² Continuum Surface Force (CSF)

³ Curvature

⁴ Surface Delta Function

⁵ Color Function

2- معادلات نفوذ و جابجایی

پدیده‌ی نفوذ توسط قانون فیک توصیف می‌شود [40]. با بسط فوریه معادله حرارت، فیک به توصیف معادله‌ی نفوذ و تحلیل آن پرداخت. با توجه به این قانون تناسبی بین پخش شار جرمی و گرادیان غلظت برقرار می‌باشد. اگر از پدیده‌ی جابجایی صرف نظر کنیم معادله نفوذ به صورت زیر بیان می‌شود:

$$\frac{dC}{dt} = D \nabla^2 C \quad (21)$$

که در معادله‌ی (21) C غلظت و D ضریب نفوذ می‌باشد. اما معمولاً در سیالات نفوذ به همراه جابجایی اتفاق می‌افتد، حال اگر جریان سیال دوفاز باشد و چگالی دو فاز اختلاف چگالی بالایی داشته باشد (برای مثال آب و هوا) جابجایی هم در پدیده‌ی نفوذ نقش بیشتری دارد. معادله‌ی توام نفوذ و جابجایی به صورت زیر است [41]:

$$\frac{dC}{dt} = D \nabla^2 C - \nabla \cdot (vC) \quad (22)$$

معادله‌ی نفوذ و جابجایی را می‌توان به فرم روش هیدرودینامیک ذرات هموار نوشت، در نتیجه معادله (22) به فرم روش اس‌پی‌اچ به صورت زیر بیان می‌شود [34]:

$$\frac{dC_i}{dt} = \sum_{j=1}^N \frac{m_j}{\rho_i \rho_j} \frac{4D_i D_j}{D_i + D_j} (\rho_i + \rho_j) \frac{r_{ij} \cdot W_{ij}}{r_{ij}^2 + \eta^2} C_{ij} - \sum_{j=1}^N m_j \frac{C_i}{\rho_i} v_{ij} \cdot \nabla_i W_{ij} \quad (23)$$

مقدار $\eta^2 = 0.01h^2$ برای جلوگیری از صفر شدن مخرج کسر هنگامی که دو ذره خیلی به هم نزدیک باشند، به کار می‌رود. همچنین D ضریب نفوذ و C غلظت تعریف شده است. برای این که ترم نفوذ از نظر عددی در مسائل با اختلاف چگالی بالا مانند آب و هوا در مزء مشترک بین دو سیال پایدار باشد در معادله (23) باید جای m_j/ρ_j با m_j/ρ_i تعویض شود.

2- معادله حالت

برای به دست آوردن فشار، روش هیدرودینامیک ذرات هموار از یک معادله حالت اینترپولیک استفاده می‌کند، همچنین شایان ذکر است که در این مقاله از معادلات انرژی استفاده نشده است. روش هیدرودینامیک ذرات هموار جریان سیال را تراکم‌پذیر ضعیف در نظر می‌گیرد که این امر استفاده از معادله حالت جهت تعیین فشار سیال را در مقایسه با حل معادله پواسون تسهیل می‌نماید. معادله حالت به صورت زیر تعریف می‌شود [6]:

$$P = \beta \left[\left(\frac{\rho}{\rho_0} \right)^{\gamma} - 1 \right] \quad (24)$$

پارامتر ρ_0 چگالی مرتع سیال است و معمولاً به صورت چگالی سیال در سطح آزاد و برابر kg/m^3 در نظر گرفته می‌شود. γ یک ثابت پلی‌تروپیک^۱ بوده که مقدار آن معمولاً بین ۱ تا ۷ می‌باشد. که در این مقاله این ضریب برای آب و هوا بترتیب ۷ و ۱.۴ تعریف شده است.

2- تابع میانیاب

همان‌طور که قبل اشاره شد، تابع میانیاب نقش بسیار مهمی در روش اس‌پی‌اچ دارد چرا که کمیت‌ها با استفاده از میانیاب به دست می‌آیند. در روش اس‌پی‌اچ تابع میانیاب با مرتبه‌های متفاوت وجود دارد [27]. آن‌چه موجب می‌شود تا از تابع میانیاب با مرتبه متفاوت استفاده شود مبحث پایداری بوده، در حقیقت معادلات روش اس‌پی‌اچ به شدت به مشتقان مرتبه اول و دوم کرنل وابسته می‌باشد. استفاده از تابع کرنل مرتبه‌ی پنجم برای

سطح تماس برابر با واحد شود. این شرط بدین منظور است که با افزایش دقیق حل، فیزیک سطح تماس به درستی بازیابی شود. در نتیجه می‌توان از تابع دلتای سطحی به صورت زیر استفاده کرد:

$$\delta_s = |n| \quad (11)$$

که $|n|$ اندازه بردار عمود بر سطح تماس است. سطح تماس هوا و آب می‌تواند توسط یک تابع رنگ مسیریابی شود. تابع رنگ برای محاسبه بردار نرمال و متعاقباً محاسبه خط انتخابی سطح تماس به کار گرفته می‌شود. در بیان تقریب ذره‌ای روش اس‌پی‌اچ تابع رنگ به صورت فرمول (12) بیان می‌شود.

$$c_i = \sum_j \frac{m_j}{\rho_j} W_h(r_{ij}) \quad (12)$$

قبل از شروع حل عددی، تابع رنگ برای ذرات آب یک و برای ذرات هوا صفر فرض می‌شود. در نتیجه در طول حل عددی در نواحی دور از سطح تماس آب و هوا، تابع رنگ برای ذرات آب و هوا تقریباً ثابت و به ترتیب برابر یک و صفر باقی می‌ماند، در حالی که در نزدیکی‌های سطح آزاد و سطح تماس دو سیال تابع رنگ تا حدود ۰.۵-۰.۴ افت می‌کند. می‌توان بردار نرمال سطح را بر حسب گرادیان تابع رنگ به صورت زیر تخمین زد:

$$n = \nabla c \quad (13)$$

خط انتخابی سطح تماس به صورت دیورزانس بردار یکه نرمال تعریف می‌شود (رابطه (14)).

$$\kappa = \nabla \cdot \hat{n} \quad (14)$$

بنابراین براساس رابطه‌های (13) و (14) می‌توان تقریب عددی بردار نرمال و خط انتخابی را به صورت زیر نوشت [14]:

$$n_i = \sum_j \frac{m_j}{\rho_j} (c_j - c_i) \nabla_i W_h(r_{ij}) \quad (15)$$

$$\kappa = (\nabla \cdot \hat{n})_i = \sum_j \frac{m_j}{\rho_j} (\hat{n}_j - \hat{n}_i) \cdot \nabla_i W_h(r_{ij}) \quad (16)$$

در نتیجه بر طبق این فرمول‌بندی، سطح تماس منطقه‌ای است که مقدار تابع رنگ تغییر زیادی کند. سطح تماس دارای عرض محدودی می‌باشد. هنگامی که تعداد ذرات به سمت بی‌نهایت میل کنند، عرض سطح تماس نیز به سمت صفر می‌گراید. همان‌طور که اشاره شد در نواحی دور از سطح تماس، تابع رنگ تقریباً ثابت است و در نتیجه هنگامی که رابطه (15) برای ناحیه خارج از سطح تماس استفاده شود، مقدار بسیار کوچک می‌شوند. این موضوع منجر به مقادیر بسیار بزرگ \hat{n} و در نتیجه κ می‌شود. این اتفاق باعث می‌شود تا جهت‌ها و مقادیر نیروی کشش سطحی به درستی محاسبه نشوند. یکی از راه‌ها برای جبران این نادرستی، فیلتر کردن n به شکل زیر است:

$$N_i = \begin{cases} 1, & |n_i| > \epsilon \\ 0, & \text{در غیر این صورت} \end{cases} \quad (17)$$

$$\hat{n}_i = \begin{cases} \frac{n_i}{|n_i|}, & |n_i| > \epsilon \\ 0, & \text{در غیر این صورت} \end{cases} \quad (18)$$

در رابطه (17) معمولاً ϵ برابر $h/0.01$ در نظر گرفته می‌شود. بنابراین رابطه (16) به صورت رابطه (19) اصلاح می‌شود.

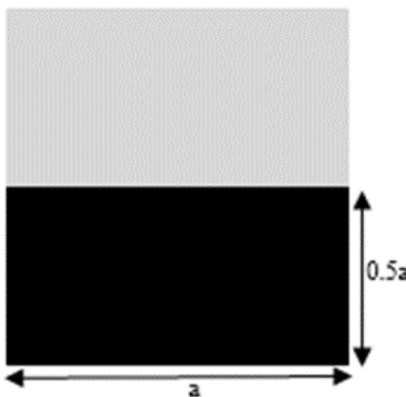
$$\kappa = (\nabla \cdot \hat{n})_i = \sum_j \min(N_i, N_j) \frac{m_j}{\rho_j} (\hat{n}_j - \hat{n}_i) \cdot \nabla_i W_h(r_{ij}) \quad (19)$$

در نتیجه رابطه نهایی برای شتاب ناشی از نیروهای کشش سطحی به صورت زیر نوشتہ می‌شود:

$$(a_s)_i = -\frac{\sigma_j}{\rho_j} (\nabla \cdot \hat{n})_i n_i \quad (20)$$

که در نهایت $(a_s)_i$ که بیانگر نیروی کشش سطحی است به معادله (7) اضافه می‌شود.

^۱ Polytrophic Constant



شکل 2 شماتیک مسئله مخزن ساکن آب و هوا

شکل 2 شماتیک مسئله مخزن ساکن آب و هوا

کرد. همچنین در "شکل 4" همگرایی جواب در فاصله‌بندی‌های متفاوت مورد بررسی قرار گرفته شده است. "جدول 1" خطای میانگین برای فاصله‌بندی‌های متفاوت را بیان می‌کند که با استفاده از رابطه (26) بدست آمدند.

$$\text{err} = \frac{1}{n} \sum_{i=1}^n |Z_i^* - Z_i| \times 100\% \quad (26)$$

که در آن n تعداد ذرات، Z_i^* ارتفاع حل تحلیلی و Z_i ارتفاع حل روش اس‌پی‌اچ است.

همان‌طور که در "شکل 4" مشاهده می‌شود هر چه فاصله‌بندی بین ذرات کمتر شود جواب دقیق‌تری از فشار را خواهیم داشت، همچنین همان‌طور که از "جدول 1" مشاهده می‌شود با کاهش فاصله‌بندی خطای میانگین کاهش می‌یابد، لذا جهت کاهش هزینه محاسباتی تمام شبیه‌سازی‌های مسئله مخزن ساکن آب و هوا با فاصله‌بندی $\Delta x = 0.01$ انجام می‌شود. در "شکل 5" نمودار فشار آب در ارتفاع‌های مختلف برای فاصله‌بندی یکسان برای هر سه راهکار با حل تحلیلی ناشی از فشار هیدرواستاتیکی در ثانیه دوم مقایسه شده است. طبق نمودار فشار هیدرواستاتیکی که در "شکل 5" مشاهده می‌شود، اضافه کردن کشش سطحی به فرمول گرینییر جواب دقیق‌تری از فشار را خصوصاً در سطح مشترک، نشان می‌دهد.

"جدول 2" درصد خطاهای نسبی در سه راهکار مختلف را نشان می‌دهد، که طبق جدول ارائه شده، راهکار سوم (اضافه کردن نیروی کشش سطحی به فرمول گرینییر) خطای کمتری نسبت به دو راهکار دیگر در یک فاصله‌بندی مشخص دارد. از این‌رو، شبیه‌سازی‌های موجود در این مقاله با استفاده از این راهکار انجام شده است.

2-3- شکست سد

مسئله‌ی شکست سد از جمله مسائلی است که با حرکت شدید موج همراه بوده و دارای تغییر شکل‌های بزرگ همراه با حرکت پیچیده‌ی سطح آزاد در مکانیک سیالات می‌باشد. با وجود این‌که مسئله شکست سد در روش اس‌پی‌اچ به صورت تک فازی حل می‌شود، در این پژوهش این مسئله برای صحبت‌سنگی معادلات دوفازی ارائه شده و کد مربوطه استفاده شده است. در این‌بین، با توجه به تغییر شکل‌های بزرگ می‌توان به بررسی سطح مشترک بین دو فاز که از اهمیت زیادی برخوردار است، پرداخته شود. در مسئله‌ی شکست سد، ستون آبی در نظر گرفته می‌شود که تحت اثر میدان جاذبه قرار دارد و در حالت قلمرو نامحدود بررسی می‌گردد. بنابراین پارامتر تأثیرگذار در

شبیه‌سازی عدد رینولدز خیلی پایین موجب بقای پایداری شده در حالی که تابع کرنل مرتبه سوم نوسان‌های بسیاری را در نتایج سرعت و فشار موجب می‌شود [42]. در این پژوهش با توجه به نتایج مرجع [27] همه مسائل با تابع میانیاب وندلند شبیه‌سازی شده است. تابع میانیاب وندلند به صورت زیر نوشته می‌شود [43]:

$$W(r, h) = \frac{\kappa}{h^v} \times \begin{cases} (1 + 2q)(2 - q)^4, & 0 \leq q < 2 \\ 0, & q \geq 2 \end{cases} \quad (25)$$

که مقدار κ برای محاسبات یک بعدی، دو بعدی و سه بعدی به ترتیب $3/4\pi$ ، $7/4\pi$ و $7/8\pi$ می‌باشد.

2-5- شرایط مرزی و الگوریتم زمانی

یکی از بخش‌های جدایی‌ناپذیر هر شبیه‌سازی عددی، تشخیص و اعمال درست شرایط مرزی است. یکی از نقاط ضعف روش‌های بدون شبکه اعمال شرایط مرزی است که این مسئله برای روش اس‌پی‌اچ نمود بیشتری پیدا می‌کند. روش‌های متفاوتی برای مدل‌سازی دیواره‌ها در این روش وجود دارند. از جمله این روش‌ها می‌توان به روش نیروی دافعه¹ که به ذرات نزدیک مرز در جهت عمود نیرویی وارد می‌کند، اشاره کرد. موناگان و کاس پس از مشاهده‌ی شکل و توزیع نامتر و نامتوان نیروی دافعه بر روی یک دیوار هموار و صاف، به منظور دست‌یابی به یک نیروی دافعه‌ی مصنوعی هموارتر بر روی دیوار، نوع دیگری از نیروهای دافعه را تحت عنوان نیروی دافعه‌ی مصنوعی نرمال ارائه دادند [44]. راجرز و همکاران [45] برای شرط مرزی پیچیده‌ی این روش را اصلاح کردند. در این مقاله از این شرط مرزی برای همه شبیه‌سازی‌ها استفاده شده است.

روش‌های متفاوتی برای الگوریتم زمانی در روش اس‌پی‌اچ وجود دارد که در این مقاله از روش پیش‌بینی-تحصیح² استفاده شده است [46].

3- اعتبارسنجی عددی

برای صحبت و درستی کد توسعه یافته و قبل از شبیه‌سازی الگوی غلظت حباب هوا در آب، به بررسی و شبیه‌سازی مسائلی از قبیل مخزن ساکن آب و هوا، شکست سد نامتناهی در بستر خشک و توزیع غلظت حباب هوا در مخزن آب ساکن پرداخته شده است.

3-1- مخزن ساکن آب و هوا

در ابتدا فشار هیدرواستاتیکی در مسئله مخزن ساکن آب و هوا با به کارگیری سه راهکار متفاوت بررسی شده است. همان‌طور که در "شکل 2" مشاهده می‌شود، یک مخزن به طول و عرض یکسان و برابر a در نظر گرفته شده است، که a اندازه طول واحد است که نیمه پایینی، آب و نیمه بالایی، هوا در نظر گرفته شده است.

در این تحقیق برای حل مسئله مخزن ساکن آب و هوا از سه راهکار استفاده شده است: در راهکار اول با اضافه کردن یک فشار اضافی به معادله مومنتوم که توسط گرینییر و همکاران [18] ارائه شد، شبیه‌سازی مسئله موردنظر انجام شده است. در راهکار دوم با اضافه کردن نیروی کشش سطحی به کد مربوطه این مسئله مورد بررسی قرار گرفته شد. اما در راهکار سوم با اضافه کردن کشش سطحی به فرمول گرینییر که ترکیبی از دو راهکار قبلی است مسئله مخزن ساکن آب و هوا شبیه‌سازی شده است. در "شکل 3" می‌توان نتایج مسئله مخزن ساکن آب و هوا را در زمان‌های متفاوت مشاهده

¹ Repulsive Force
² Predictor-Corrector Scheme

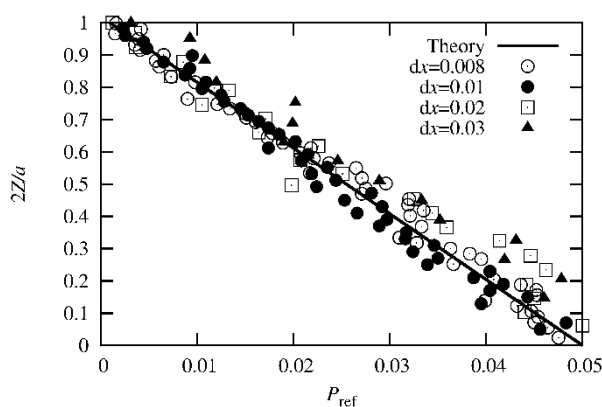


Fig. 4 The convergence test for hydrostatic pressure with different spacing at $t=2.0$ s

شکل 4 تست همگرایی فشار هیدرواستاتیکی با فاصله‌بندی متفاوت در ثانیه دوم

جدول 1 درصد خطای میانگین برای فاصله‌بندی‌های متفاوت

Table 1 The mean error for different spacing percent

درصد خطای میانگین	فاصله‌بندی
% 1.60	$\Delta x=0.03$
% 1.51	$\Delta x=0.02$
% 1.41	$\Delta x=0.01$
% 1.22	$\Delta x=0.008$

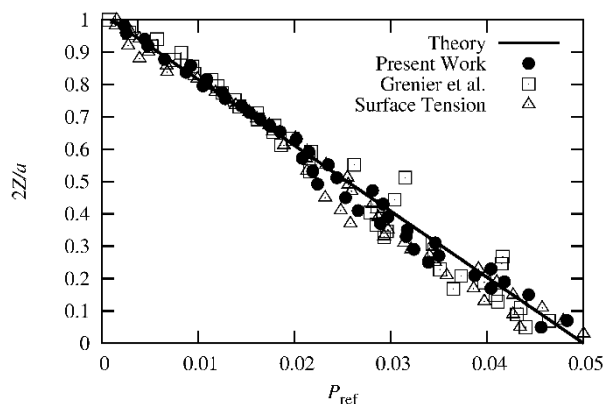


Fig. 5 Comparisons between exact and SPH hydrostatic pressure at 2 seconds

شکل 5 مقایسه فشار استاتیکی تئوری و روش اس‌بی‌اج در 2 ثانیه

جدول 2 درصد خطای نسبی حل‌های روش اس‌بی‌اج در زمان‌های مختلف با $\Delta x=0.01$

Table 2 Relative error for different SPH solutions at different times with spacing $\Delta x = 0.01$

کد توسعه یافته	0.5 ثانیه	1 ثانیه	1.5 ثانیه	2 ثانیه
گرینییر و همکاران	% 19.29	% 17.62	% 17.42	% 15.99
کشش سطحی	% 9.48	% 11.03	% 9.27	% 9.89
کار حاضر	% 9.30	% 9.50	% 9.01	% 9.40

جریان سیال شکست سد، نیروی حجمی وزن بوده که سیال در اثر آن ریزش می‌کند. در حالت قلمرو نامحدود، هندسه‌ی مسئله همانند "شکل 6" می‌باشد و در واقع سیال پس از حرکت بر روی بستر خشک سطح جامد با دیوار عمودی برخورد نداشته و تنها نحوه‌ی حرکت سیال و رفتار سطح مشترک بین دوفاز مدنظر هستند.

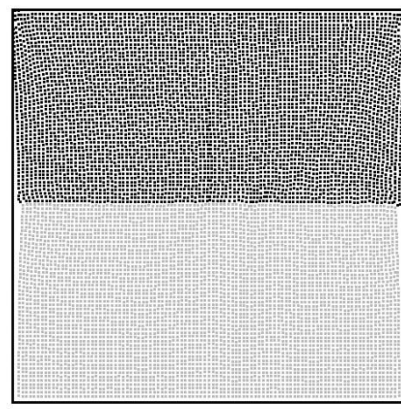


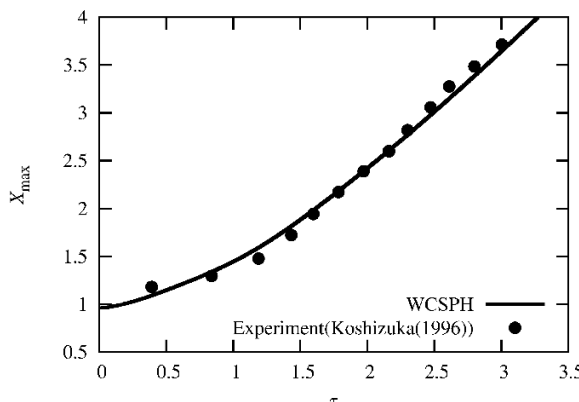
Fig. 3 توزیع ذرات برای مسئله مخزن ساکن آب و هوا در زمان‌های مختلف

شکل 3 توزیع ذرات برای مسئله مخزن ساکن آب و هوا در زمان‌های مختلف

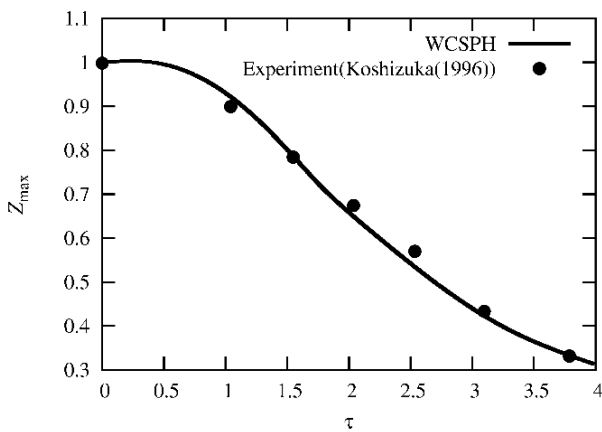
"شکل‌های 8 و 9" مقایسه‌ی تغییرات بی بعد پیشانی موج و تغییرات بی بعد سطح ارتفاع ستون آب، بر حسب زمان بی بعد، حاصل از مدل‌سازی مسئله‌ی شکست سد با قلمروی نامحدود با نتایج تجربی حاصل از کار کوشیزوکا در سال 1996 که در مرجع [47] نیز ارائه شده‌اند، را نمایش می‌دهد که از تقویت بسیار خوبی برخوردار می‌باشد.

در حالت دوم به بررسی مسئله‌ی شکست سد بر روی قلمرو محدود پرداخته می‌شود. در این حالت، شبیه‌سازی جریان از لحظه‌ی سقوط سیال تا برخورد آن با دیواره و برگشت امواج از دیواره انجام شده است. طرح‌واره‌ی مسئله‌ی شکست سد در "شکل 10" نمایش داده شده است. ارتفاع و عرض ستون سیال به ترتیب برابر با C و $D = 2a$ و پارامتر a برابر طول واحد می‌باشند.

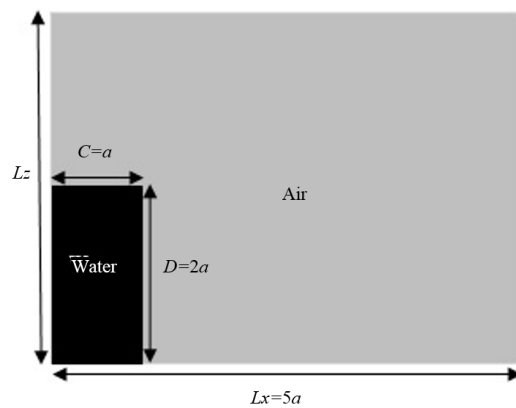
دیوار قائم نیز در فاصله‌ی $Lx = 3.366a$ از انتهای ستون سیال قرار دارد. نتایج حاصل از شبیه‌سازی، شامل تاریخچه‌ی زمانی حرکت سیال و چگونگی تغییرات سطح آزاد سیال در "شکل 11" ارائه شده‌اند. در این حالت پس از فرو ریختن ستون آب، آب بر روی سطح خشک شتاب می‌گیرد و در نهایت به دیواره می‌مقابل برخورد می‌کند. در اثر این برخورد سیال به شدت تغییر جهت داده و به سمت بالا شتاب می‌گیرد. پس از این، در اثر عملکرد میدان جاذبه که به سمت پایین است، سرعت ذرات کاهش پیدا کرده و با



شکل 8 مقایسه‌ی تغییرات بی بعد پیشانی موج بین روش اسپیاج و آزمایشگاهی [47] برای جریان شکست سد بر روی بستر نامحدود.



شکل 9 مقایسه‌ی تغییرات بی بعد پیشانی موج بین روش اسپیاج و آزمایشگاهی [47] برای جریان شکست سد بر روی بستر نامحدود.



شکل 6 شماتیک مسئله‌ی شکست سد روی بستر نامحدود.

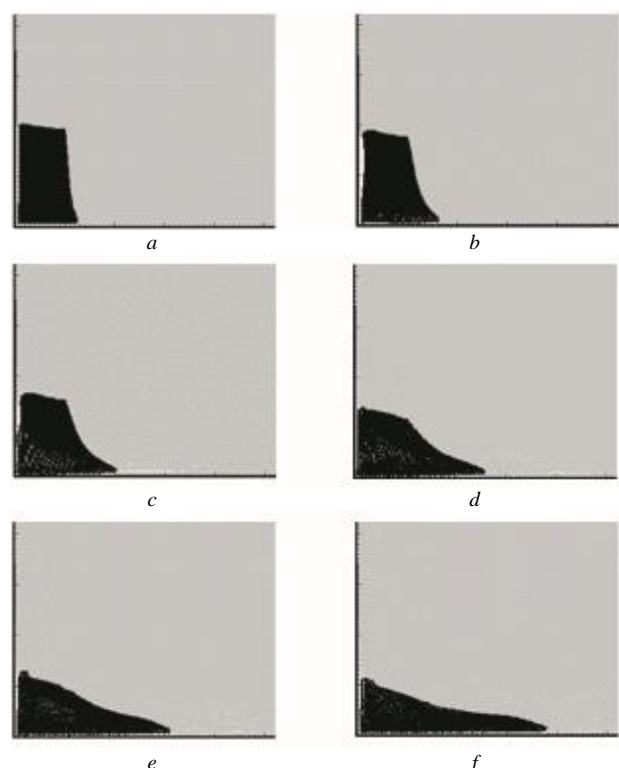
جهت بی بعدسازی تغییرات پیشانی موج، ارتفاع ستون آب و زمان از روابط زیر استفاده می‌گردد:

$$X_{\max} = \frac{x}{C} \quad (27)$$

$$Z_{\max} = \frac{z}{D} \quad (28)$$

$$\tau = t \sqrt{\frac{2g}{C}} \quad (29)$$

تغییر شکل سطح مشترک بین دو سیال در "شکل 7" نشان داده شده‌اند. علاوه بر چیدمان و چگونگی تغییرات سطح آزاد سیال و سطح مشترک در مسئله‌ی شکست سد با قلمرو نامحدود، به‌طور معمول دو نمودار دیگر شامل تغییرات پیشانی موج و تغییرات سطح ارتفاع ستون آب، هر دو به صورت بی بعد، بر حسب زمان بی بعد نیز برای این مسائل ارائه می‌گردند.



شکل 7 توزیع ذرات برای مسئله‌ی شکست سد روی بستر نامحدود در زمان‌های 5(3.0, 2.5, 2.0, 1.5, 1.0, 0) تا/برای زمان‌های بی بعد

متغّرّت بی بعد (ترتیب از a تا f برای زمان‌های بی بعد 3.0, 2.5, 2.0, 1.5, 1.0, 0).

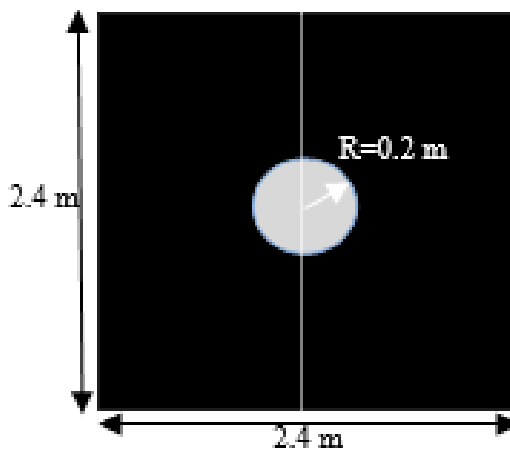


Fig. 12 Schematic of air bubble problem

شکل 12 شماتیک مسئله صعود حباب هوا

که در معادله (31) $c_0 = 1 \text{ kg s}^{1/2}/\text{m}^3$, $t_0 = 1 \text{ s}$ و V سرعت میانگین عمودی حباب هوا است که به صورت تحلیلی مانند معادله (32) بیان شده است [34].

$$V = \frac{1}{2} \sqrt{g \frac{\rho_l - \rho_g}{\rho_l}} r \quad (32)$$

در "شکل 13"، توزیع غلظت حباب هوا در مخزن ساکن آب در زمان‌های متفاوت برای ضریب نفوذ 10^3 بیان شده است.

با توجه به معادلات (30) تا (32) در "شکل‌های 14 تا 16" به بررسی مقایسه توزیع غلظت حباب هوا در زمان‌های مختلف با حل تحلیلی برای ضریب نفوذ‌های متفاوت پرداخته شده است. همان‌طور که از "شکل 14 تا 16" مشاهده می‌شود، نمودارها دارای انطباق مناسبی بین حل تحلیلی و توزیع غلظت در حباب هوا با استفاده از روش اسپیچ می‌باشند. در حل تحلیلی غلظت برای حباب، شکل کروی در نظر گرفته می‌شود ولی صعود حباب هوا همراه با تغییر شکل صورت می‌گیرد. در نمودار "شکل‌های 14 و 15" در نیم ثانیه، به دلیل تغییر شکل پیدا کردن حباب هوا، صعود حباب هوا و سرعت نفوذ آن، کاهش می‌یابد. از طرفی غلظت حباب هوا به دلیل کم شدن سرعت نفوذ هوا کاهش می‌یابد. قابل ذکر است که برای نشان دادن غلظت در حباب هوا برای ضریب نفوذ‌های 10^4 و 10^2 ، جهت بهتر نشان دادن نمودار دلیل تغییر شاعع این است که با تغییر ضریب نفوذ توانایی تحلیل نمودار مانند قبل (ضریب نفوذ 10^3) وجود داشته باشد.

طبق نتایج بدست آمده در "شکل‌های 14 تا 16" مشاهده می‌شود، با کم شدن ضریب نفوذ سرعت نفوذ حباب هوا کاهش می‌یابد و بر عکس. همچنین مشاهده می‌شود که تغییر ضریب نفوذ تاثیری بر روی بیشینه غلظت حباب هوا ندارد و بیشینه غلظت در هر سه نمودار با ضریب نفوذ‌های مختلف در زمان‌های متفاوت یکسان است.

با توجه به نتایج ارائه شده در این مقاله، مشاهده می‌شود که روش اسپیچ توانایی بررسی غلظت با ضریب نفوذ‌های مختلف را دارد. از این شبیه‌سازی می‌توان برای پیش‌بینی الگوی غلظت در جریان‌های دوفاز استفاده کرد که یکی از مهمترین کاربردهای آن در سرریزها می‌باشد. اگر ما الگوی از این نفوذ و جابجایی در دست داشته باشیم می‌توانیم جانمایی مناسبی برای هواده‌ها داشته باشیم که از پدیده‌ی کاویتاسیون می‌توان جلوگیری کرد.

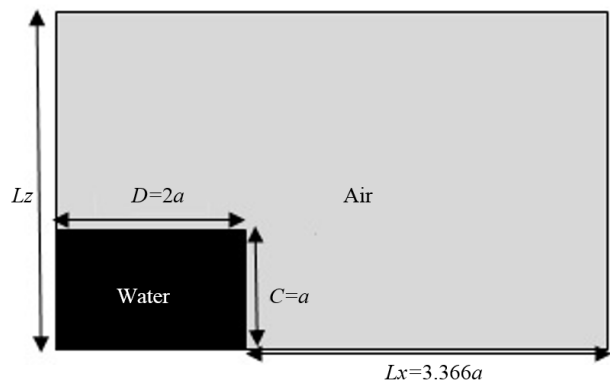


Fig. 10 Schematic of dam break problem on finite bed.

شکل 10 طرح‌واره‌ی مسئله‌ی شکست سد با قلمروی محدود.

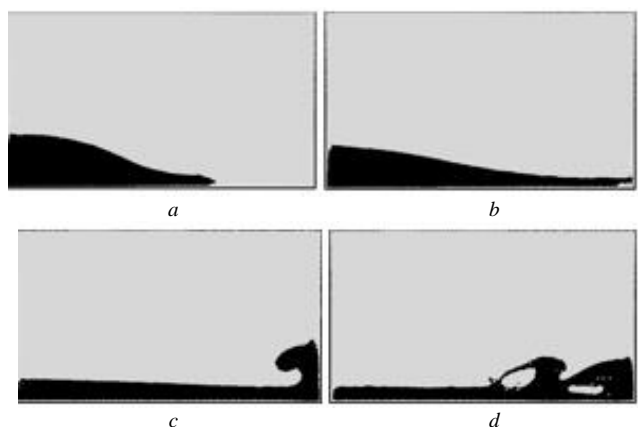


Fig. 11 Particles distribution for dam break problem on finite bed at different dimensionless times (From a to d at 1.60, 2.82, 5.29, 7.45)

شکل 11 تغییرات سطح آزاد سیال حاصل از حل مسئله‌ی شکست سد با قلمرو محدود بترتیب از a تا d برای زمان‌های بی بعد 7.45, 5.29, 2.82, 1.60.

تشکیل یک حلقه، به سمت پایین باز می‌گردد. در اثر برخورد حلقه به جریان سیال، موجی که در محل برخورد تشکیل می‌شود، باعث محبوس شدن ذرات هوا و تشکیل حباب هوا می‌گردد. پس از آن سیال کمی به سمت بالا پرتاپ شده و پس از گذشت زمان موج دوم تشکیل می‌شود و باعث به وجود آمدن حباب‌های هوا در اندازه‌های متفاوت می‌شود.

3- توزیع غلظت حباب هوا در مخزن ساکن آب و هوا

شبیه‌سازی انجام شده در این قسمت برای نشان دادن توزیع غلظت حباب هوا در یک مخزن ساکن آب است. شرایط اولیه مسئله به این صورت است که یک مخزن با طول و عرض 2.4 متر در نظر گرفته شده است، که در مرکز این مخزن حباب هوا با شاعع 0.2 متر در موقعیت $O(1.2 \text{ m}, 1.2 \text{ m})$ تعریف شده است. "شکل 12" شرایط مسئله را به صورت شبیه‌سازی نشان می‌دهد.

برای شبیه‌سازی توزیع غلظت در حباب هوا در لحظه‌ی اولیه توزیعی به صورت معادله (30) در امتداد شاعع حباب هوا فرض شده است:

$$C(x, z, t = 0) = \exp \left[-\frac{(x - x_0)^2}{4D} - \frac{(z - z_0)^2}{4D} \right] \quad (30)$$

که در معادله (30) x_0 و z_0 موقعیت مرکز حباب را نشان می‌دهد و D بیانگر ضریب پخش است. حل تحلیلی با توجه به مرجع [34]، به صورت فرمول (31) می‌باشد:

$$C(x, z, t) = \frac{c_0}{\sqrt{t + t_0}} \exp \left[-\frac{(x - x_0)^2}{4D(t + t_0)} - \frac{(z - z_0 - Vt)^2}{4D(t + t_0)} \right] \quad (31)$$

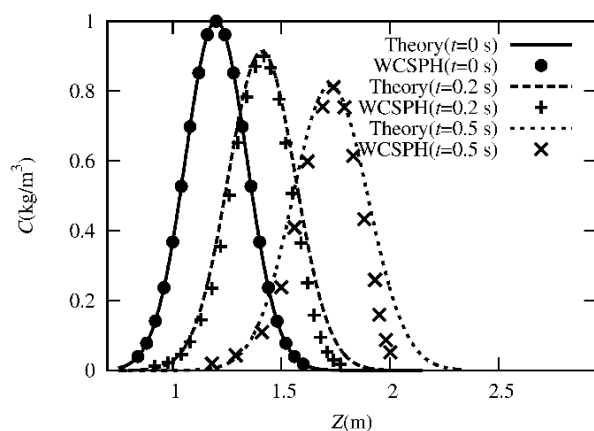
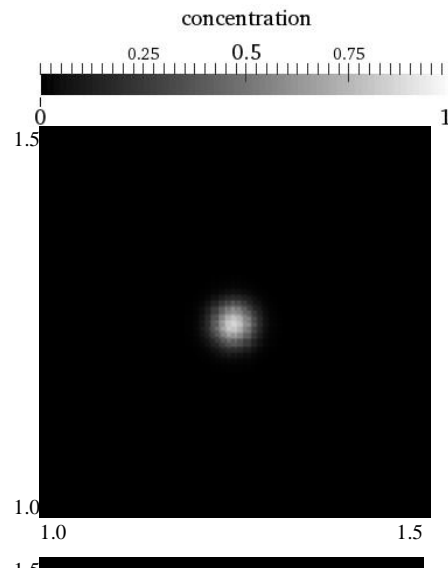


Fig. 14 مقایسهٔ توزیع غلظت حباب هوا بین حل تحلیلی و حل روش اسپیاج در زمان‌های متفاوت برای $D=10^{-2}$

شکل 14 مقایسهٔ توزیع غلظت حباب هوا بین حل تحلیلی و حل روش اسپیاج در زمان‌های متفاوت برای $D=10^{-2}$



شکل 13 توزیع غلظت حباب هوا به ترتیب از بالا به پایین در زمان‌های ۰.۰۵، ۰.۲ و ۰.۵ ثانیه

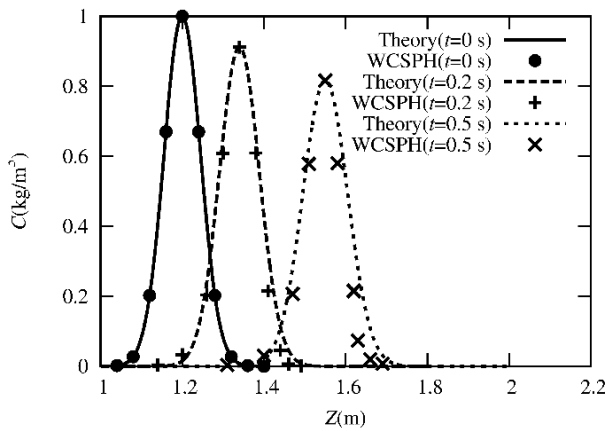


Fig. 15 Comparisons between SPH advection-diffusion model and analytical solution of the concentration field at different times for $D=10^{-3}$

شکل 15 مقایسهٔ توزیع غلظت حباب هوا بین حل تحلیلی و حل روش اسپیاج در زمان‌های متفاوت برای $D=10^{-3}$

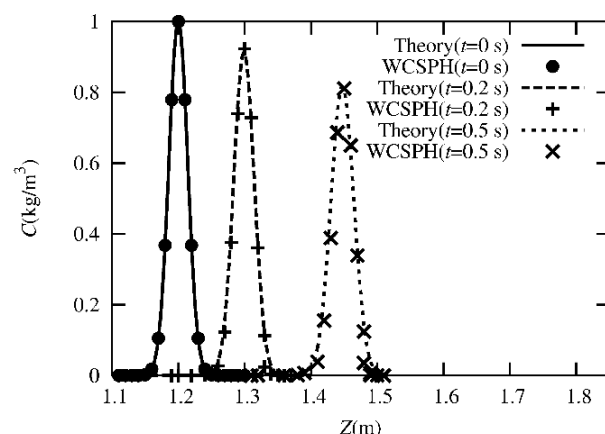
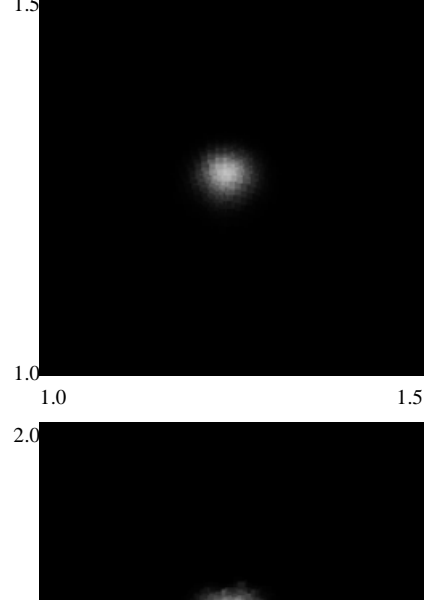
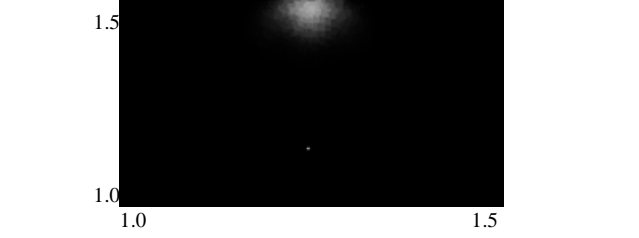


Fig. 16 Comparisons between SPH advection-diffusion model and analytical solution of the concentration field at different times for $D=10^{-4}$

شکل 16 مقایسهٔ توزیع غلظت حباب هوا بین حل تحلیلی و حل روش اسپیاج در زمان‌های متفاوت برای $D=10^{-4}$



شکل 13 توزیع غلظت حباب هوا به ترتیب از بالا به پایین در زمان‌های ۰.۰۵، ۰.۲ و ۰.۵ ثانیه

۴- نتیجه‌گیری

در این مقاله به بررسی فرآیند نفوذ و جابجایی در یک جریان دوبعدی دوفازی آب و هوا با استفاده از روش هیدرودینامیک ذرات هموار پرداخته شد. برای شبیه‌سازی جریان دوفازی آب و هوا از کد تک فازی اسپیزیکس دوبعدی تکفاری که برای شبیه‌سازی جریان‌های سطح آزاد کاربرد دارد، استفاده شد. با اعمال کردن نیروی کشش سطحی و یک فشار اضافه به معادله مومنتوم این کد به یک کد دوفازی آب و هوا، ارتقاء داده شد. برای اعتباربخشی این کد

- [18] N. Grenier, M. Antuono, A. Colagrossi, D. Le Touze, B. Alessandrini, An Hamiltonian interface SPH formulation for multi-fluid and free surface flows, *Journal of Computational Physics*, Vol. 228, No.22, pp. 8380-8393, 2009.
- [19] G. Rosatti, J. Murillo, L. Fraccarollo, Generalized Roe schemes for 1-D two-phase, free surface flows over a mobile bed, *Journal of Computational Physics*, Vol. 227, No. 24, pp. 10058-10077, 2008.
- [20] A. K. Das, P. K. Das, Bubble evolution through submerged orifice using smoothed particle hydrodynamics: Basic formulation and model validation, *Chemical Engineering Science*, Vol. 64, No. 10, pp. 2281-2290, 2009.
- [21] A.K. Das, P.K. Das, Incorporation of diffuse interface in smoothed particle hydrodynamics: implementation of the scheme and case studies, *International Journal Numerical Methods Fluids*, Vol.67, No. 6, pp. 671-699, 2011.
- [22] A.K. Das, P.K. Das, Bubble evolution and necking at a submerged orifice for the complete range of orifice tilt, *AICHE Journal*, Vol. 59, No. 2, pp. 630-642, 2013.
- [23] J. J. Monaghan, A. Rafiee, A simple SPH algorithm for multifluid flow with high density ratios, *International Journal for Numerical Methods in Fluids*, Vol. 7, No. 5, pp. 537-561, 2013.
- [24] N. Grenier, D. Le Touzé, A. Colagrossi, M. Antuono, G. Colicchio, Viscous bubbly flows simulation with an interface SPH model, *Ocean Engineering*, Vol. 69, No. 1, pp. 88-102, 2013.
- [25] A. Zhang, P. Sun, F. Ming, An SPH modeling of bubble rising and coalescing in three dimensions, *Computer Methods Applied Mechanic Engineering*, Vol. 294, No. 5, pp.189-209 , 2015.
- [26] S. J. Lind, P. K. Stansby, B. D. Rogers, Incompressible-compressible flows with a transient discontinuous interface using smoothed particle hydrodynamics (SPH), *Journal of Computational Physics*, Vol. 309, No. 1, pp.129-147, 2016.
- [27] M. Pourabdian, P. Omidvar, M. R. Morad, Numerical simulation of liquid jet breakup using smoothed particle hydrodynamics (SPH), *Modares Mechanical Engineering*, Vol. 16, No. 3, pp. 55-66, 2016. (in Persian).
- [28] P. W. Cleary, J. J. Monaghan, Conduction modeling using smoothed particle hydrodynamics, *Journal of Computational Physics*, Vol. 148, No. 1, pp. 227-264, 1999.
- [29] Y. Zhu, P. J. Fox, Smoothed particle hydrodynamics model for diffusion through porous media, *Transport in Porous Media*, Vol. 43, No. 3, pp. 441-471, 2001.
- [30] Y. Zhu, P. J. Fox, Simulation of pore-scale dispersion in periodic porous media using smoothed particle hydrodynamics, *Journal of Computational Physics*, Vol. 182, No. 2, pp. 622-645, 2002.
- [31] A. M. Tartakovsky, P. Meakin, A smoothed particle hydrodynamics model for miscible flow in three-dimensional fractures and the two dimensional Rayleigh-Taylor instability, *Journal of Computational Physics*, Vol. 207, No. 2, pp. 610-624, 2005.
- [32] M. Tartakovsky, P. Meakin, T. D. Scheibe, R. M. E. West, Simulations of reactive trasport and precipitation with smoothed particle hydrodynamics, *Journal of Computational Physics*, Vol. 222, No. 2, pp. 654-672, 2007.
- [33] S. Manenti, A. Di Monaco, M. Gallatì, S. Sibilla, G. Agate, R. Guandalini, A. Maffio, Simulating rapid sediment scour by water flow with SPH, *Proceedings of 4th SPHERIC workshop*, Nantes, pp. 145-149, 2009.
- [34] F. Aristodemo, I. Federico, P. Veltri, Two-phase SPH modelling of advective diffusion processes, *Environ Fluid Mechanics*, Vol. 10, No. 4, pp. 451-470, 2010.
- [35] R. Issa, *Numerical assessment of the smoothed particle hydrodynamics grid less method for incompressible flows and its extension to turbulent flows*, Ph.D. Thesis, University of Manchester, UK, 2005.
- [36] J. J. Monaghan, Smoothed Particle Hydrodynamics, *Reports on Progress in Physics*, Vol. 68, No. 8, pp. 1703-1759, 2005.
- [37] J. J. Monaghan, Smoothed Particle Hydrodynamics, *Annual Review of Astronomy and Astrophysics*, Vol. 30, No. 1, pp. 543-574, 1992.
- [38] J. J. Monaghan, Smoothed particle hydrodynamics and its diverse applications, *Annual Review of Fluid Mechanics*, Vol. 44, No. 1, pp. 323-346, 2012.
- [39] J. U. Brackbill, D. B. Kothe, C.H. Zemach, A continuum method for modeling surface-tension, *Journal of Computational Physics*, Vol. 100, No. 2, pp. 335-354, 1992.

دوفازی ابتدا مسئله مخزن ساکن آب شبیه‌سازی شد و همان‌طور که مشاهده شد فشار هیدرواستاتیکی حاصل از روش اس‌بی‌اچ نتایج قابل قبولی در مقایسه با حل تحلیلی داشت.

در ادامه به بررسی جریان دوفازی شکست سد بر روی بستر نامحدود پرداخته شد و نتایج با داده‌های آزمایشگاهی مقایسه شد و تطابق خوبی با داده‌های آزمایشگاهی داشت، همچنین شکست سد در بستر محدود نیز جهت توانایی روش عددی در اصابت موج به دیوار روبروی شبیه‌سازی شده است. سپس به بررسی فرآیند نفوذ و جابجایی و غلظت حباب هوا در آب پرداخته شد و سه ضریب نفوذ متفاوت برای این مسئله مورد بررسی قرار گرفت. همان‌طور که مشاهده شد روش اس‌بی‌اچ تطابق خوبی با حل تحلیلی داشت. از این‌رو، با توجه به نتایج بدست آمده می‌توان روش اس‌بی‌اچ را یک روش مناسب برای بررسی جریان دوفازی آب و هوا و همچنین فرآیند نفوذ و جابجایی در نظر گرفت. قدم بعدی در انجام پژوهش فوق، بررسی امکان‌پذیری استفاده از روش هیدرودینامیک ذرات هموار در شبیه‌سازی فرآیندهای هوایداری و هوادهی در صنایع مختلف می‌باشد.

۵- مراجع

- [1] Prosperetti, G. Tryggvason, *Computational methods for multiphase flow*, pp. 1-4, New York: Cambridge University Press, 2006.
- [2] M. Ishii, T. Hibiki, *Thermo-fluid dynamics of two-phase flow West Lafayette*, pp. 1-10, Germany: Springer, 2005.
- [3] P. Omidvar, *Wave Loading on Bodies In the free Surface Using SPH*, Ph.D Thesis, University of Manchester, UK, 2010.
- [4] R. Gingold, J. J. Monaghan, Smoothed Particle Hydrodynamic: Theory and Application to Nonspherical Stars, *Monthly Notices of the Royal Astronomical Society*, Vol. 181, No. 1, pp. 375-389, 1977.
- [5] L. B. Lucy, A numerical Approach to the Testing of Fusion Process, *Astronomical Journal*, Vol.58, No.12, pp. 1013-1024, 1977.
- [6] J. J. Monaghan, Simulating free surface flows with SPH, *Journal Computational Physics*, Vol. 110, No. 2, pp. 399-406. 1994.
- [7] P. Omidvar, P. K. Stansby, B. D. Rogers, Wave body interaction in 2D using Smoothed Particle Hydrodynamics (SPH) including variable particle mass, *International Journal for Numerical Methods in Fluids*, Vol. 68, No. 6, pp. 686-705, 2012.
- [8] P. Omidvar, P. K. Stansby, B. D. Rogers, SPH for 3-D floating bodies using variable particle mass, *International Journal for Numerical Methods in Fluids*, No. 4, Vol. 72, pp. 427-452, 2013.
- [9] P. Omidvar, H. Norouzi, A. Zarghami, Smoothed Particle Hydrodynamics (SPH) for water wave propagation in a channel, *International Journal of Modern Physics*, Vol. 48, No. 8, pp. 1-16, 2014.
- [10] P. Omidvar, P. Nikegbali, Simulation of Violent Water Flows over a Movable Bed using Smoothed Particle Hydrodynamics, *Journal of Marine Science and Technology*, doi:10.1007/s00773-016-0409-7, 2016.
- [11] P. W. Cleary, J. J. Monaghan, Conduction modeling using smoothed particle hydrodynamics, *Journal of Computational Physics*, Vol. 148, No. 1, pp. 227-264, 1999.
- [12] P. W. Randles, L. D. Libersky, SPH: Some recent improvements and applications, *Computer Methods in Applied Mechanics and Engineering*, Vol. 139, No. 1, pp. 375-408, 1996.
- [13] S. J. Cummins, M. Rudman, An SPH Projection Method, *Journal of computational physics*, Vol. 152, No. 2, pp. 584-607, 1999.
- [14] J. P. Morris, Simulating surface tension with smoothed particle hydrodynamics, *International Journal for Numerical Methods in Fluids*, Vol. 33, No. 3, pp. 333-353, 2000.
- [15] A. Colagrossi, M. Landrini, Numerical simulation of interfacial flows by smoothed particle hydrodynamics, *Journal of Computational Physics*, Vol. 191, No. 2, pp. 448-475, 2003.
- [16] X. Hu, N. A. Adams, A multi-phase SPH method for macroscopic and mesoscopic flows, *Journal of Computational Physics*, Vol. 213, No. 2, pp. 844-861, 2006.
- [17] X. Hu, N. A. Adams, An incompressible multi-phase SPH method, *Journal of Computational Physics*, Vol. 227, No. 1, pp. 264-278, 2007.

- [44] J. J. Monaghan, A. Kos, Solitary waves on a cretan beach, *Journal of Waterway, Port, Coastal, and Ocean Engineering*, Vol. 125, No. 3, pp. 145-155, 1999.
- [45] D. B. Rogers, R. A. Dalrymple, P. K. Stansby, SPH modeling of floating bodies in the surf zone, *Proceedings of 31th International Conference on Coastal Engineering*, pp. 204-215, 2009.
- [46] J. J. Monaghan, On the problem of penetration in particle methods, *Journal of Computational Physics*, Vol. 82, No. 1, pp. 1-15, 1989.
- [47] R. Xu, *an Improved Incompressible Smoothed Particle Hydrodynamics Method and Its Application in Free-Surface Simulations*, PhD Thesis, University of Manchester, UK, 2009.
- [40] A. Fick, Ueber diffusion: (On Diffusion), *Poggendorffs Annalen der Physik und Chemie*, Vol. 94, No. 1, pp. 59-86, 1855.
- [41] H. B. Fischer, E. G. List, R. C. Y. Koh, J. Imberger, N. H. Brooks, *Mixing in inland and coastal waters*, pp. 1-483, NewYork: Academic Press, 1979.
- [42] J. P. Morris, P. J. Fox, Y. Zhu, Modeling low reynolds number incompressible flows using SPH, *Journal of Computational Physics*, Vol. 136, pp. 214-226, 1997.
- [43] H. Wendland, Piecewise polynomial, positive definite and compactly supported radial functions of minimal degree, *Advances in Computational Mathematics*, Vol. 4, No. 1, pp. 389-396, 1995.